

UNIVERZA V LJUBLJANI  
FAKULTETA ZA GRADBENIŠTVO IN GEODEZIJO

Kandidat:

**JAN PRIBOŠEK**

## **IZRAČUN ENERGETSKIH PARAMETROV HIDROELEKTRARNE**

**Diplomska naloga št.**

**Mentor:**

Andrej Kryžanowski

LJUBLJANA, 2017

delovna verzija, 1. julij 2017



## **POPRAVKI**

**Stran z napako**

**Vrstica z napako**

**Namesto**

**Naj bo**

## **BIBLIOGRAFSKO-DOKUMENTACIJSKA STRAN IN IZVLEČEK**

### **UDK**

**Avtor:** Jan Pribošek  
**Mentor:** Prof. dr. Andrej Kryžanowski  
**Naslov:** Izračun parametrov hidroelektrarne  
**Tip dokumenta:** Diplomaska naloga - univerzitetni študijski program gradbeništvo  
**Obseg in oprema:** 21 str., 11 sl., 0 pregl., 47 en.  
**Ključne besede:**

### **Izvleček**

## **BIBLIOGRAPHIC-DOCUMENTALISTIC INFORMATION AND ABSTRACT**

### **UDC**

**Author:** Jan Pribošek

**Supervisor:** Prof. Andrej Kryžanowski, Ph. D.

**Title:** Calculating parameters of the hydroelectric powerplant

**Document type:** Graduation - Thesis - university program

**Notes:** 21 p., 11 fig., 0 tab., 47 eq.

**Keywords:**

**Abstract**

## **ZAHVALA**

## KAZALO VSEBINE

<b>BIBLIOGRAFSKO-DOKUMENTACIJSKA STRAN IN IZVLEČEK</b>	<b>II</b>
<b>BIBLIOGRAPHIC-DOCUMENTALISTIC INFORMATION AND ABSTRACT</b>	<b>III</b>
<b>ZAHVALA</b>	<b>IV</b>
<b>1 Uvod</b>	<b>1</b>
<b>2 Teoretične osnove</b>	<b>2</b>
2.1 Pridobitev podatkov . . . . .	2
2.2 Analiza hidrološkega niza podatkov . . . . .	3
2.3 Izračun konsumpcijske krivulje . . . . .	3
2.3.1 Izračun konsumpcijske krivulje za pravokotne in trapezne struge . . . . .	3
2.3.2 Izračun konsumpcijske krivulje za struge poljubne oblike . . . . .	6
2.4 Izračun proizvodnje električne energije . . . . .	10
<b>3 Izračun</b>	<b>12</b>
3.1 Izračun parametrov po trapezni metodi . . . . .	12
3.1.1 Ročni izračun . . . . .	12
3.1.2 Izračun s programom . . . . .	12
3.2 Izračun parametrov po numerični metodi . . . . .	14
3.2.1 Ročni izračun parametrov hidroelektrarne . . . . .	14
3.2.2 Izračun parametrov hidroelektrarne s programom . . . . .	14
3.3 Rezultati izračuna . . . . .	16
<b>4 ZAKLJUČEK</b>	<b>17</b>
<b>POVZETEK</b>	<b>18</b>
<b>SUMMARY</b>	<b>19</b>

<b>VIRI</b>	<b>20</b>
-------------	-----------

<b>DODATKI</b>	<b>21</b>
----------------	-----------



## KAZALO SLIK

2.1	Prečni prerez pravokotne struge . . . . .	4
2.2	Prečni prerez trapezne struge . . . . .	4
2.3	Prečni prerez poljubno oblikovane struge vodotoka . . . . .	6
2.4	Izbrani analizirani odsek struge . . . . .	7
2.5	Detajl izbranega odseka struge . . . . .	7
2.6	Shema prečnega prereza hidroelektrarne . . . . .	10
3.1	Shema struge izbranega vodotoka . . . . .	12
3.2	Vnos podatkov v program . . . . .	13
3.3	Konsumpcijska krivulja izračunana po trapezni metodi . . . . .	13
3.4	Vnos podatkov v program . . . . .	15
3.5	Graf konsumpcijske krivulje izračunani po numerični metodi . . . . .	15

## KAZALO PREGLEDNIC

## **LIST OF FIGURES**

## LIST OF TABLES

## 1 Uvod

Letna količina vode ki se pretoči v Sloveniji je  $33,9 \text{ km}^3$ , kar nas primerjano na število prebivalcev uvršča v sam vrh v Evropi, takoj za Švico in Norveško. Potreba po električni energiji se iz leta v leto veča, vendar se le okoli 47% vodnega potenciala efektivno uporablja za potrebe proizvodnje električne energije. Voda v Sloveniji je povsod okoli nas, zato je zanimivo preračunati koliko električne energije bi lahko proizvedli iz bližnjega potoka ali večje reke. Podatki o pretokih rek v Sloveniji so namreč javno dostopni v arhivu na spletni strani agencije Republike Slovenije za okolje (ARSO). [1]

Cilj diplomske naloge je ocena proizvedene električne energije pretočne hidroelektrarne poljubne velikosti za vodotok poljubnega pretoka in oblike. V ta namen sem napisal program, ki s pomočjo začetno ocenjenih parametrov struge in meritev povprečnih dnevnih pretokov izbranega vodotoka izračuna parametre pretočne hidroelektrarne.

V diplomski nalogi bom najprej opisal postopek izračuna z osnovnimi enačbami, na koncu pa bom primerjal rezultate ročnega izračuna z rezultati ki jih izračuna program. Pri izračunu sem upošteval da je voda za pregrado na maksimalni konstantni višini, izkoristek turbine konstanten in neodvisen od pretoka skozi turbino ter naklon struge od 0% do 2%.

## 2 Teoretične osnove

Parametre za iskano hidroelektrarno lahko izračunamo po naslednjem algoritmu:

1. Pridobitev podatkov
2. Analiza hidrološkega niza podatkov za iskano obdobje
3. Izračun konsumpcijske krivulje
4. Izračun proizvodnje električne energije

### 2.1 Pridobitev podatkov

Za nadaljnje izračune potrebujemo podatke o:

- Dimenzijah in naklonu rečne struge
- Manningovem koeficientu hrapavosti rečnega korita
- Povprečnih dnevnih pretokih vodotoka za izbrano obdobje

Podatke o dimenzijah rečnega korita lahko pridobimo z meritvami na terenu ali pa dimenzije ocenimo na podlagi ortofoto posnetkov. Naklon rečne struge vodotoka se lahko oceni s pomočjo spletne aplikacije Geopedija. Izberemo odsek vodotoka, ki ga definirata dve točki. S pomočjo Geopedije odčitamo podatke o višinski razliki  $\Delta h$  in razdalji  $\Delta L$  med točkama. S pomočjo spodnje enačbe določimo naklon izbranega odseka vodotoka:

$$I = \frac{100\Delta h}{\Delta L} [\%] \quad (2.1)$$

Manningov koeficient hrapavosti rečnega korita  $n_g$  se lahko oceni izkustveno na terenu s pomočjo priročnikov ali pa z umerjanjem na podlagi podatkov o nivojih vode in pretokih. Manningov koeficient hrapavosti je odvisen od naslednjih 7 faktorjev [2]:

1. Hrapavosti površine ostenja
2. Zaraščenosti rečnega korita
3. Neregularnosti oblike rečnega korita
4. Meandriranja rečne struge
5. Zamašitve struge s plavinami
6. Oblike in velikosti rečnega korita
7. Polnosti rečnega korita z vodo

Podatke o pretokih slovenskih vodotokov lahko pridobimo iz arhiva, ki se nahaja na spletni strani agencije Republike Slovenije za okolje (v nadaljevanju ARSO). V primeru da iščemo pretok za manjši vodotok, je zelo verjetno da podatki o pretokih vodotoka ne obstajajo. V tem primeru lahko pretok vodotoka ocenimo s pomočjo meritev višine gladine vode in dimenzij struge, ocene Manningovega koeficienta hrapavosti in naklona struge. S pomočjo Manningove enačbe opisane kasneje v poglavju 2.3.1 in prej omenjenih

členov Manningove enačbe dobimo končno ocenjeno vrednost pretoka vodotoka za posamezno obdobje meritev.

## 2.2 Analiza hidrološkega niza podatkov

Iz ARSO-vega arhiva lahko izvozimo podatke o povprečnih dnevni pretokih iskanega vodotoka v csv obliki (comma separated values). Iz izvoženih podatkov lahko za vsak mesec obdobja izračunamo povprečni mesečni pretok. Če mesečne pretoke povprečimo za vsa leta izbranega obdobja lahko navedene povprečne mesečne pretoke obdobja prikažemo na hidrogramu obdobja. Hidrogram je graf, ki prikazuje povprečne mesečne pretoke vodotoka za izbrano obdobje analize.

## 2.3 Izračun konsumpcijske krivulje

Konsumpcijska krivulja je graf funkcije, ki predstavlja višino gladine vode v odvisnosti od pretoka vode v rečni strugi. Graf konsumpcijske krivulje potrebujemo za določitev višinske razlike  $dh$  med spodnjo in zgornjo vodo hidroelektrarne v odvisnosti od pretoka vode skozi turbine hidroelektrarne. Višinsko razliko  $dh$  potrebujemo za določitev moči hidroelektrarne v zadnjem koraku algoritma opisanega v tem poglavju.

### 2.3.1 Izračun konsumpcijske krivulje za pravokotne in trapezne struge

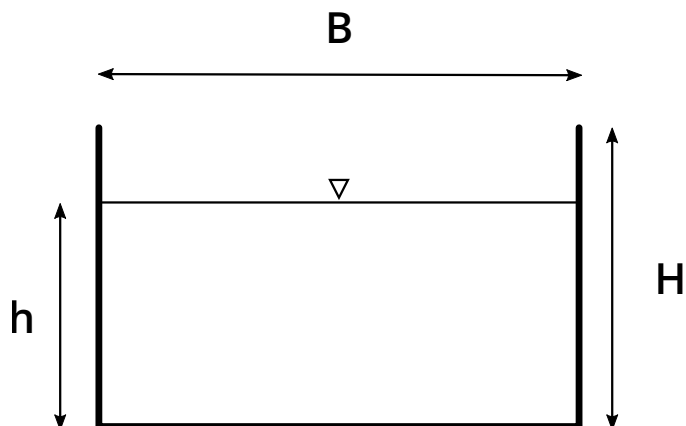
Za izračun konsumpcijske krivulje potrebujemo pretok vodotoka  $Q$  v odvisnosti od višine gladine vode  $h$  v strugi. Gladina vode  $h$  poteka od dna struge do maksimalne višine struge vodotoka  $H$ . Natančnost izračuna numeričnih metod, je odvisna od velikosti koraka izračuna. V našem primeru za potrebe ocene pretoka centimetrski korak po višini predstavlja zadostno natančnost. Pretok vode v strugi  $Q$  se torej za vsak cm višine  $h$  izračuna po Manningovi enačbi:

$$Q(h) = \frac{1}{ng} \sqrt{I} \frac{S(h)^{5/3}}{P(h)^{2/3}} \quad (2.2)$$

Kjer je:

Q	pretok
ng	Manningov koeficient hrapavosti dna struge
I	naklon struge
S	ploščina omočenega dela prečnega profila
P	dolžina omočenega oboda struge

1. Pravokotno oblikovana struga vodotoka:



Slika 2.1: Prečni prerez pravokotne struge

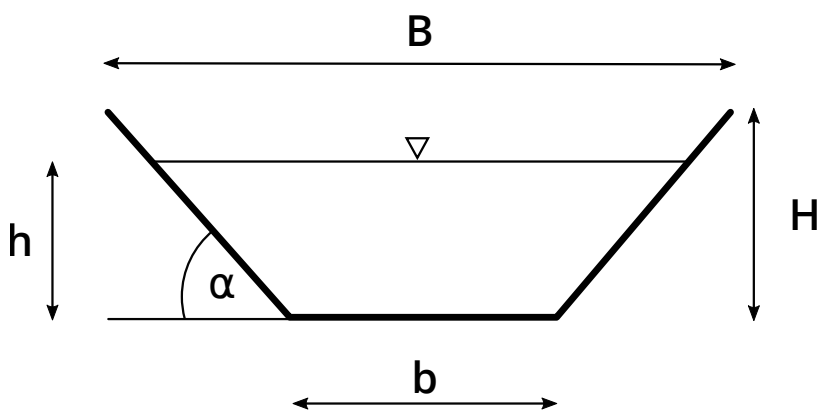
Omočeni obod pravokotne struge izračunamo kot seštevek širine dna struge in dvakratne višine gladine vode v strugi vodotoka  $h$ .

$$P_p(h) = B + 2h \quad (2.3)$$

Ploščino omočenega dela, ki ga omejujejo rečno korito in gladina vode za pravokotno oblikovano rečno strugo dobimo po enačbi:

$$S_p(h) = B \cdot h \quad (2.4)$$

2. Trapezno oblikovana struga vodotoka:



Slika 2.2: Prečni prerez trapezne struge

Omočeni obod trapezno oblikovane rečne struge izračunamo kot seštevek širine dna struge in dvakratne razdalje od roba dna do točke presečišča rečnega korita z gladino vode:

$$P_t(h) = b + 2 \cdot \sqrt{h^2 + \left( \frac{h}{\tan \alpha} \right)^2} \quad (2.5)$$



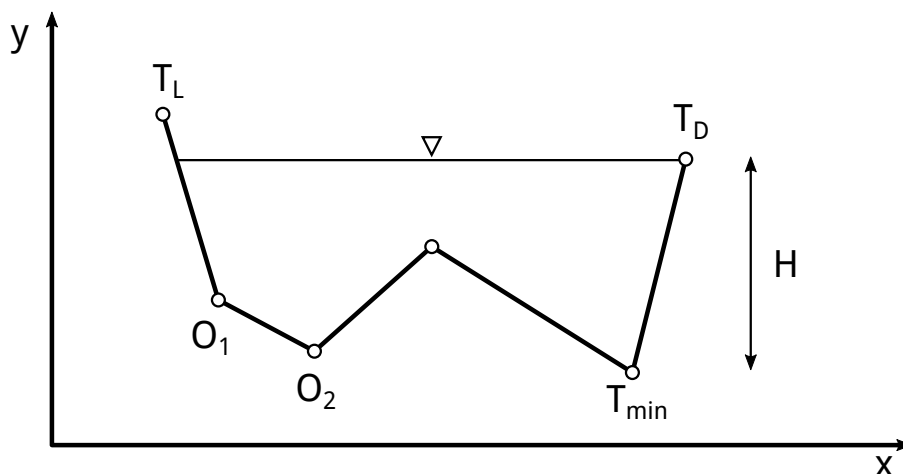
Ploščino omočenega dela v trapezno oblikovani rečni strugi izračunamo po enačbi:

$$S_t(h) = b \cdot h + \frac{h^2}{2 \tan \alpha} \quad (2.6)$$

Ko poznamo vse parametre Manningove enačbe [2.2](#), izračunamo pretoke vodotoka za vsak cm višine rečne struge, ki poteka od višine 0 do  $H$  in narišemo graf konsumpcijske krivulje  $h(Q)$ .

### 2.3.2 Izračun konsumpcijske krivulje za struge poljubne oblike

V primeru, da iščemo konsumpcijsko krivuljo za strugo vodotoka poljubne oblike, si za izračun le te ne moremo pomagati s znanimi formulami preprostih geometrijskih likov. Poljubno oblikovano strugo lahko popišemo s serijo točk, ki jih dodajamo v kartezijski koordinatni sistem  $x, y$ . Za vsako točko ki definira poljubno rečno korito podamo  $x$  in  $y$  koordinato, za točke pa predpostavimo da so med seboj povezane z enačbo linearne funkcije. Na sliki 2.3 je predstavljen shema prečnega prereza poljubno oblikovane struge vodotoka.



Slika 2.3: Prečni prerez poljubno oblikovane struge vodotoka

Skrajni točki na robu struge vodotoka sta točki  $T_L$  in  $T_D$  na sliki 2.3. Točko na robu struge z nižjo y koordinato označimo s  $T_{Rmin}$  (na sliki 2.3 označena kot točka  $T_D$ ). Najnižjo točko struge vodotoka označimo s  $T_{min}$ . Maksimalna višina gladine vode v rečnem koritu  $H$  je definirana kot razdalja med točkama  $T_{Rmin}$  in  $T_{min}$ . V primeru da je višina gladine vode večja od višine rečnega korita  $H$  pride do preliva vode čez robove struge vodotoka.

Za izračun konsumpcijske krivulje, s točkami definirano poljubno strugo vodotoka najprej razdelimo na odseke po dve točki  $O_1 (x_1, y_1)$  in  $O_2 (x_2, y_2)$  kar je prikazano na sliki 2.3. Za vsak analizirani odsek struge vodotoka, se najprej določi enačba linearne funkcije, ki povezuje točki  $O_1$  in  $O_2$ . Zaradi poenostavljenega zapisa so v nadaljevanju koordinate točke  $O_1$  označene kot  $x_1$  in  $y_1$ , koordinate točke  $O_2$  pa  $x_2$  in  $y_2$ .

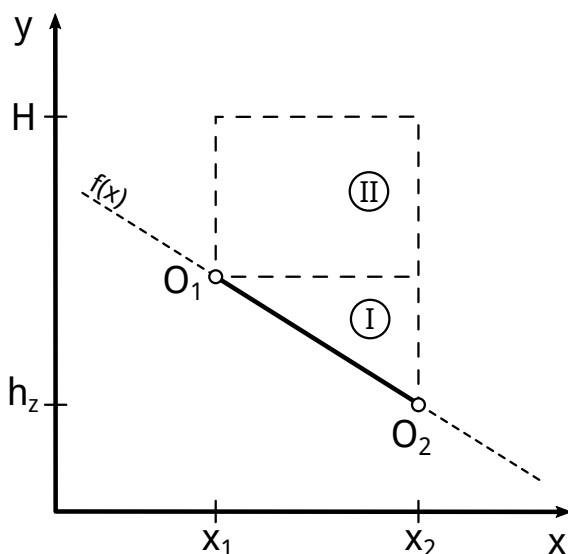
Enačba linearne funkcije se definira kot:

$$f(x) = kx + n \quad (2.7)$$

Naklon funkcije  $k$  se izračuna po spodnji enačbi:

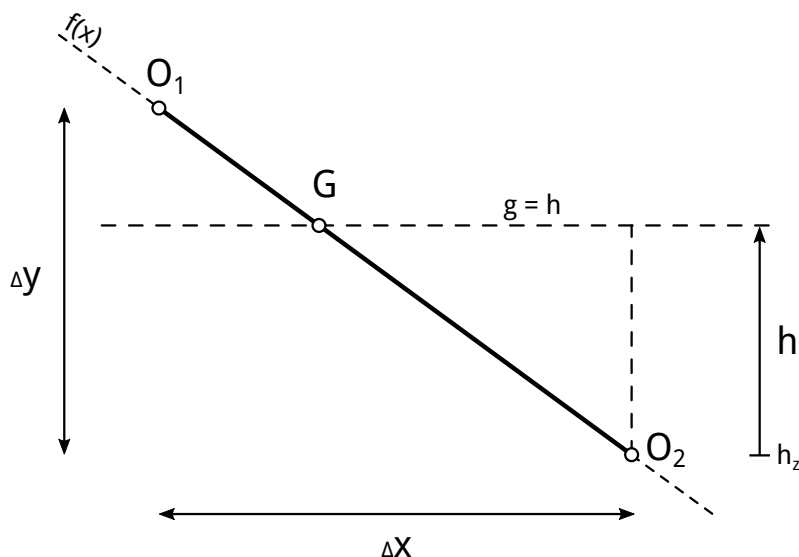
$$k = \frac{y_2 - y_1}{x_2 - x_1} \quad (2.8)$$

Če v enačbo linearne funkcije 2.7 vstavimo izračunan naklon  $k$  in koordinate točke  $O_1$ , lahko izračunamo iskani  $n$ . S tem je določena enačba linearne funkcije  $f(x)$  ki povezuje točki  $O_1$  in  $O_2$ .



Slika 2.4: Izbrani analizirani odsek struge

Za vsak analizirani odsek dveh točk se določi najnižja točka odseka  $T_z$ , na sliki 2.4 označena kot točka  $O_2$ . Y koordinata točke  $T_z$  nam predstavlja začetno višino odseka  $h_z$ . Od  $h_z$  do končne višine gladine vode v strugi  $H$  za vsak cm po višini določimo omočeni obod struge  $P(h)$  in ploščino prečnega prereza odseka pod vodo  $S(h)$ . Razdaljo med  $y$  koordinatami točk  $O_1$  in  $O_2$  označimo z  $\Delta y$ , razdaljo med  $x$  koordinatami točk pa z  $\Delta x$ . Ravnina  $g$  predstavlja gladino vode pri trenutni višini  $h$ , kar je prikazano na sliki 2.5.



Slika 2.5: Detajl izbranega odseka struge

Omočeni obod struge vodotoka  $P(h)$  in ploščina prečnega prereza struge vodotoka pod gladino vode  $S(h)$  se glede na naklon funkcije, ki povezuje točki na robu analiziranega odseka  $f(x)$  izračuna na dva načina:

1. V primeru ko velja  $\Delta y = 0$  je funkcija med točkama odseka  $f(x)$  vodoravna premica in velja:

$$P(h) = \Delta x \quad (2.9)$$

$$S(h) = \Delta x \cdot h \quad (2.10)$$

2. V primeru ko  $\Delta y \neq 0$  ima funkcija  $f(x)$  naklon  $k \neq 0$ . V tem primeru od začetka višine odseka  $h_z$  do končne višine gladine vode v strugi  $H$  za vsak cm izračunamo presečišče  $G$ , funkcije  $f(x)$  s horizontalno ravnino  $g = h$ .

Ko imamo določeno presečišče  $G$  gladine vode s funkcijo  $f(x)$  med točkama odseka, lahko izračunamo dolžino omočenega oboda struge odseka in ploščino lika ki ga oklepajo funkcija odseka  $f(x)$ , navidezna gladina vode  $g = h$  in najnižja točka odseka  $T_z$  (na sliki 2.4 označena z  $O_2$ ).

Način izračuna omočenega oboda struge vodotoka  $P(h)$  in ploščine prečnega prereza pod gladino vode  $S(h)$  je odvisen od pozicije presečišča  $G$ :

- (a) V primeru da se presečišče  $G$  izbranega odseka struge nahaja v območju med točkama  $O_1$  in  $O_2$ , dolžino omočenega oboda določimo po Pitagorovem izreku kot:

$$P(h) = \sqrt{(T_{zx} - G_x(h))^2 + (T_{zy} - G_y(h))^2} \quad (2.11)$$

Ploščino območja ki ga oklepajo horizontalna ravnina  $g$  s presečiščem  $G$  in najnižjo točko odseka  $T_z$  pa določimo kot ploščino trikotnika (območje I na sliki 2.4) po formuli:

$$S(h) = \frac{|T_{zx} - G_x(h)| \cdot |T_{zy} - G_y(h)|}{2} \quad (2.12)$$

- (b) V primeru, da se presečišče  $G$  nahaja izven območja točk  $O_1$  in  $O_2$  se dolžina omočenega oboda odseka izračuna kot razdalja med točkama  $O_1$  in  $O_2$  po Pitagorovem izreku:

$$P = \sqrt{\Delta x^2 + \Delta y^2} \quad (2.13)$$

Ploščina pod gladino vode odseka  $S(h)$  pa se določi kot seštevek ploščin območij I in II označenih na sliki 2.4.

$$S(h) = S_I + S_{II}(h) \quad (2.14)$$

Pri čemer sta  $S_I$  in  $S_{II}$  enaka:

$$S_I = \left| \frac{\Delta y \cdot \Delta x}{2} \right| \quad (2.15)$$

$$S_{II}(h) = \left| \Delta x \cdot (h - y_1) \right| \quad (2.16)$$

Ko imamo za vsak cm višine gladine vode izračunan omočeni obod  $P_n(h)$  odseka  $n$  in ploščino prečnega prereza pod gladino vode  $S_n(h)$  lahko določimo pretok vode skozi odsek struge vodotoka  $Q_n(h)$ . Pretok vode skozi odsek izračunamo po Manningovi enačbi omenjeni v poglavju 2.2. Za vsak računani odsek moramo poznati tudi naklon struge vodotoka  $I_n$  in Manningov koeficient hrapavosti površine  $n_{gn}$ , ki se ju določi po postopkih opisanih v poglavju 2.1.

$$Q_n(h) = \frac{1}{n g_n} \sqrt{I_n} \frac{S_n(h)^{5/3}}{P_n(h)^{2/3}} \quad (2.17)$$

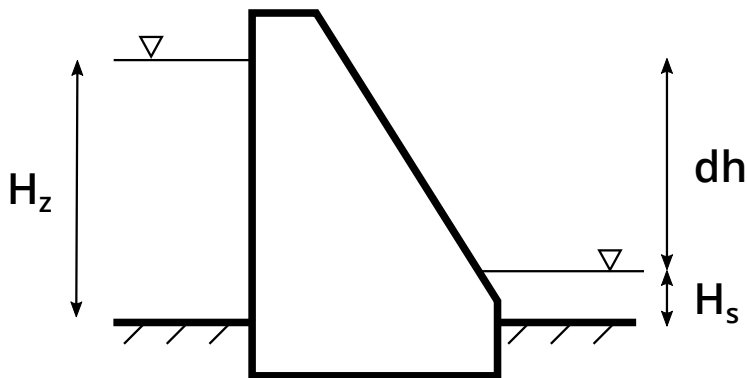
Posamezne pretoke odsekov po višinah medsebojno seštejemo in dobimo končne vrednosti pretokov  $Q$  v odvisnosti od višine gladine vode v strugi vodotoka:

$$Q(h) = Q_1(h) + Q_2(h) + Q_3(h) + \dots + Q_{n-1}(h) + Q_n(h) \quad (2.18)$$

S tem postopkom smo izračunali točke ki določajo konsumpcijsko krivuljo  $h(Q)$  za izbrano strugo poljubne oblike.

## 2.4 Izračun proizvodnje električne energije

Za določitev končne proizvodnje električne energije potrebujemo razliko med koto zgornje vode t.j. vode v rezervoarju in koto spodnje vode t.j. vode ki teče skozi turbine hidroelektrarne. Ker računamo proizvodnjo električne energije za pretočne hidroelektrarne, predpostavimo da je kota zgornje vode konstantna na višini  $H_z$ .



Slika 2.6: Shema prečnega prereza hidroelektrarne

Koto spodnje vode  $H_s$  določimo iz prej izračunane konsumpcijske krivulje iz katere odčitamo višino gladine vode v strugi za dani povprečni mesečni pretok skozi turbine hidroelektrarne. V primeru da se pretok skozi turbine hidroelektrarne nahaja med dvema točkama pretokov v konsumpcijski krivulji, iskano višino spodnje vode določimo z linearno interpolacijo med znanima izračunanima točkama na grafu konsumpcijske krivulje.

Višinsko razliko med koto zgornje in spodnje vode določimo po spodnji enačbi:

$$dh = H_z - H_s \quad (2.19)$$

Moč hidroelektrarne izračunamo po enačbi:

$$P = \mu \cdot \frac{g \cdot \rho_v}{1000} \cdot Q \cdot dh \quad (2.20)$$

Pri čemer so:

P	moč [kW]
$\mu$	izkoristek turbine [%]
g	gravitacijska konstanta $\left[9,81 \frac{m}{s^2}\right]$
$\rho_v$	gostota vode $\left[\frac{1000kg}{m^3}\right]$
Q	pretok $[m^3/s]$
dh	razlika višin spodnje in zgornje vode [m]

Za ocenitev povprečne letne proizvodnje električne energije, potrebujemo podatke o povprečnih mesečnih pretokih vodotoka izračunanih za iskano časovno obdobje. Podatke o povprečnih mesečnih pretokih pridobimo iz rezultatov analize hidrološkega niza podatkov opisane v poglavju 2.2.

Za določitev povprečne mesečne proizvodnje električne energije potrebujemo znano povprečno mesečno moč hidroelektrarne  $\bar{P}$ . Povprečno mesečno moč hidroelektrarne izračunamo s povprečjem dnevnih moči hidroelektrarne za iskani mesec. Za vsak mesec izračunamo povprečno moč hidroelektrarne po enačbi, pri čemer je  $n$  število dni v mesecu:

$$\bar{P} = \frac{P_1 + P_2 + P_3 + \dots + P_{n-1} + P_n}{n} \quad (2.21)$$

Povprečno mesečno proizvodnjo električne energije izračunamo po naslednji enačbi:

$$E = \frac{24 \cdot \bar{P} \cdot d}{1000} \quad (2.22)$$

Pri čemer so:

$E$	povprečna mesečna proizvedena električna energija [MWh]
$\bar{P}$	povprečna moč v mesecu [kW]
$d$	število dni v mesecu

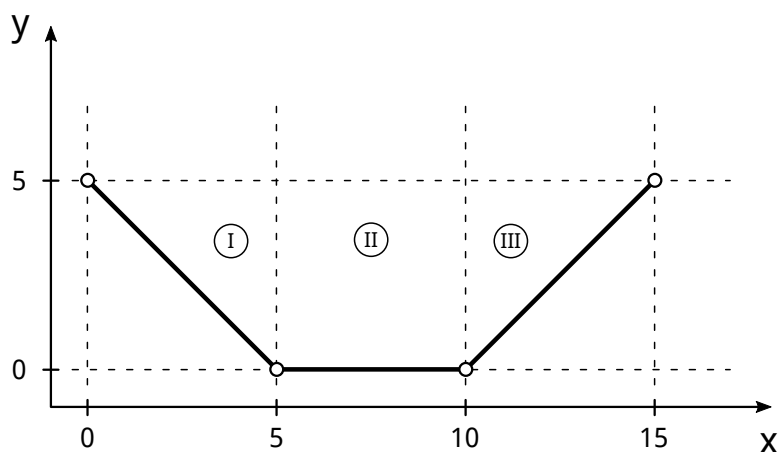
Končna povprečna letna proizvodnja električne energije je določena s seštevkom povprečnih mesečnih proizvedenij električne energije  $E$ :

$$E_{leto} = \frac{E_1 + E_2 + E_3 + \dots + E_{10} + E_{11} + E_{12}}{12} \text{ [MWh]} \quad (2.23)$$

### 3 Izračun

Za izračun ocene parametrov pretočne hidroelektrarne je ključnega pomena pravilen izračun konsumpcijske krivulje za izbran vodotok, saj se vsi nadaljnji izračuni nanašajo nanj. V tem poglavju bom s primerom dokazal, da program računa parametre pravilno. Za dokaz bom uporabil namišljen primer trapezno oblikovane struge vodotoka prikazane na sliki 3.1, z 1% naklonom struge, višino vode v strugi  $h = 5m$  in Manningovim koeficientom hrapavosti 0,3.

Rezultate ročnega izračuna bom primerjal z rezultati ki jih izračuna program po trapezni in numerični metodi opisani v poglavju 2.3.1 oz. 2.3.2. Vse mere na spodnji sliki 3.1 so v metrih.



Slika 3.1: Shema struge izbranega vodotoka

#### 3.1 Izračun parametrov po trapezni metodi

##### 3.1.1 Ročni izračun

Za izračun pretoka vodotoka pri višini  $h = 5m$  uporabimo enačbe navedene v poglavju 2.3.1.

$$P(h) = b + 2 \cdot \sqrt{h^2 + \left(\frac{h}{\tan \alpha}\right)^2} = 5 + 2 \cdot \sqrt{5^2 + \left(\frac{5}{\tan 45}\right)^2} = 19,1 \text{ m} \quad (3.1)$$

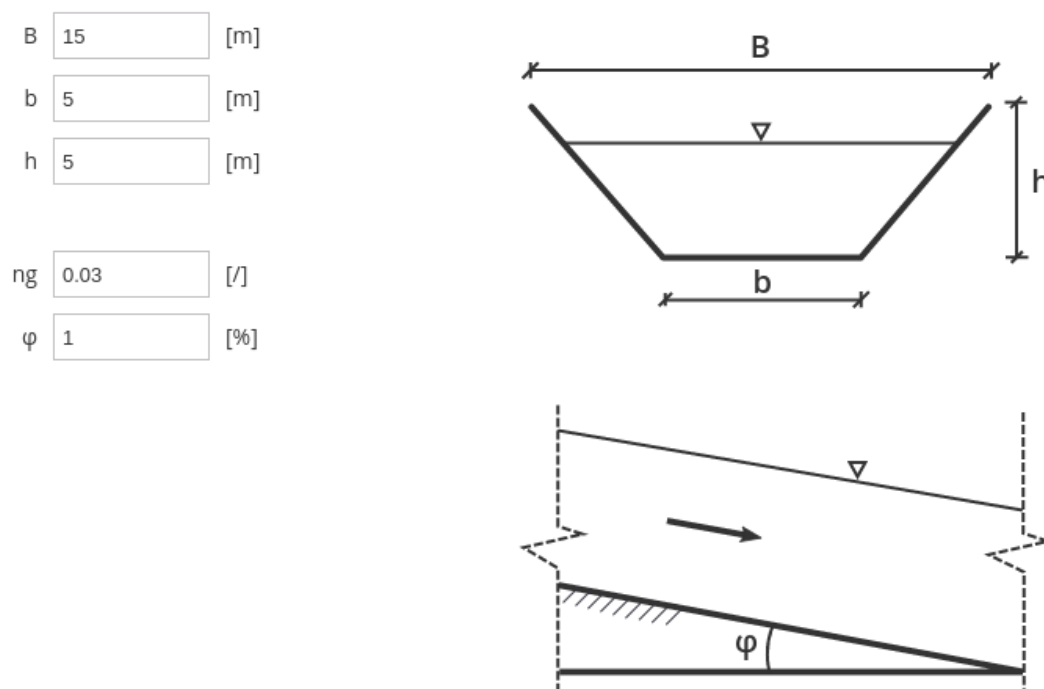
$$S(h) = b \cdot h + \frac{h^2}{\tan \alpha} = 55 + \frac{5^2}{\tan 45} = 50 \text{ m}^2 \quad (3.2)$$

$$Q(h) = \frac{\sqrt{0,01}}{0,03} \cdot \frac{50^{5/3}}{19,1^{2/3}} = 316,6 \text{ m}^3/\text{s} \quad (3.3)$$

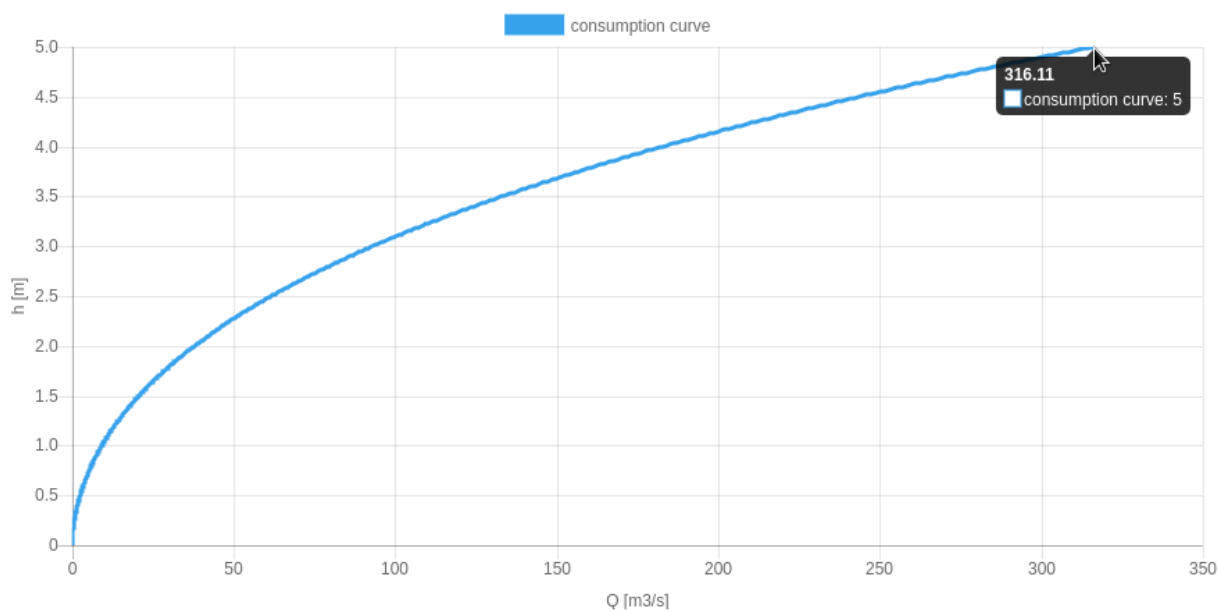
##### 3.1.2 Izračun s programom

V program vnesemo podatke o rečnem koritu kot je prikazano na sliki 3.2.





Slika 3.2: Vnos podatkov v program



Slika 3.3: Konsumpcijska krivulja izračunana po trapezni metodi

S slike 3.3 lahko odčitamo pretok struge izračunane po trapezni metodi pri višini  $h = 5\text{m}$ .

### 3.2 Izračun parametrov po numerični metodi

V tem poglavju bomo primerjali rezultate ročno izračunanih parametrov in parametrov izračunanih s programom po numerični metodi omenjeni v poglavju 3.1.

#### 3.2.1 Ročni izračun parametrov hidroelektrarne

##### I. Odsek

$$S_I = \frac{55}{2} = 12,5 \text{ m}^2 \quad (3.4)$$

$$P_I = \sqrt{5^2 + 5^2} = 7,07 \text{ m} \quad (3.5)$$

$$Q_I = \frac{\sqrt{0,01}}{0,03} \cdot \frac{12,5^{5/3}}{7,07^{2/3}} = 60,9 \text{ m}^3/\text{s} \quad (3.6)$$

##### II. Odsek

$$S_{II} = 55 = 25 \text{ m}^2 \quad (3.7)$$

$$P_{II} = 5 \text{ m} \quad (3.8)$$

$$Q_{II} = \frac{\sqrt{0,01}}{0,03} \cdot \frac{25^{5/3}}{5^{2/3}} = 243,7 \text{ m}^3/\text{s} \quad (3.9)$$

##### III. Odsek

$$S_{III} = S_I = 12,5 \text{ m}^2 \quad (3.10)$$

$$P_{III} = S_I = 7,07 \text{ m} \quad (3.11)$$

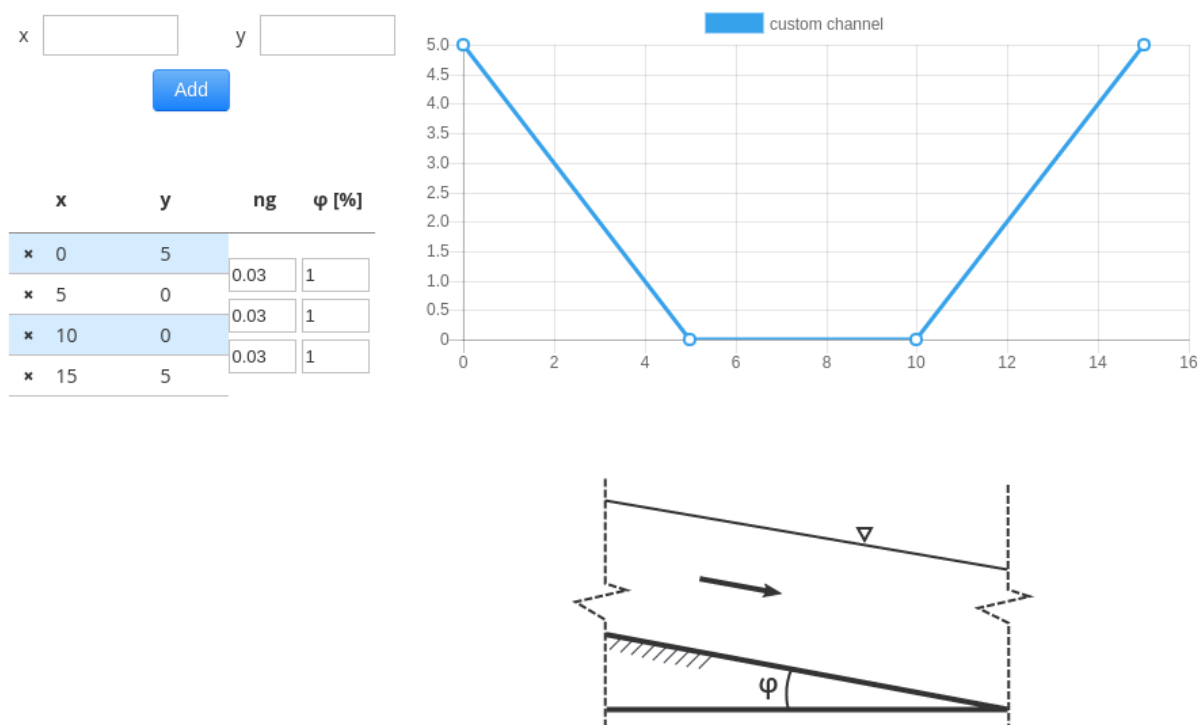
$$Q_{III} = Q_I = 60,9 \text{ m}^3/\text{s} \quad (3.12)$$

Skupni pretok za višino  $h = 5\text{m}$ :

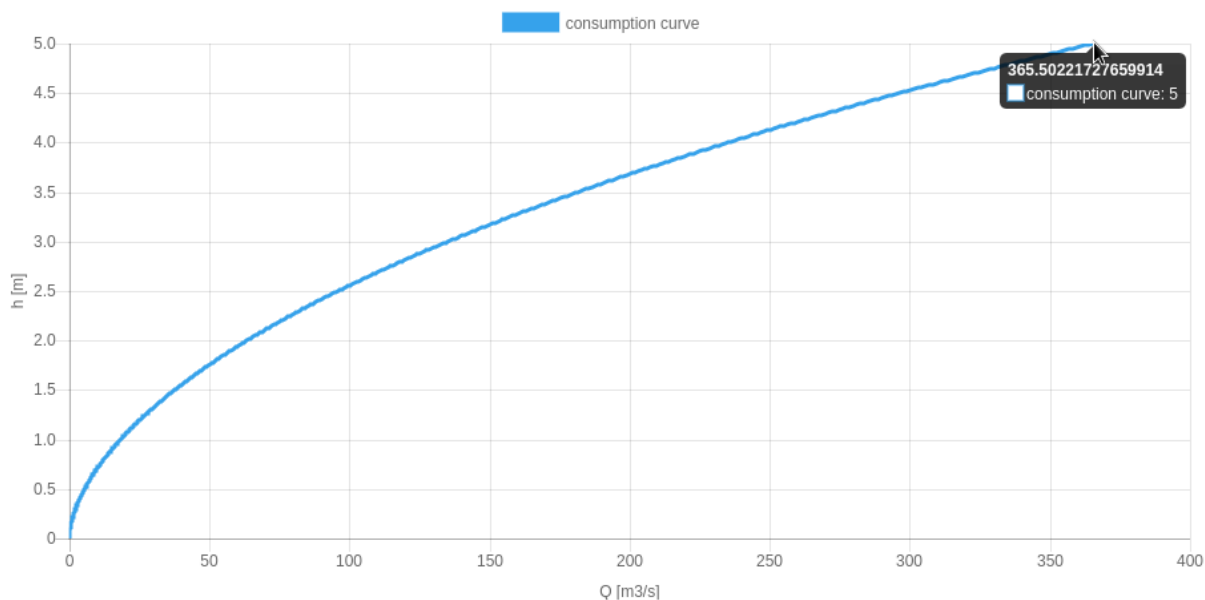
$$Q_s = Q_I + Q_{II} + Q_{III} = 60,9 + 243,7 + 60,9 = 365,5 \text{ m}^3/\text{s} \quad (3.13)$$

#### 3.2.2 Izračun parametrov hidroelektrarne s programom

S pomočjo uporabniškega vmesnika v koordinatni sistem vnašamo serijo točk, s katerimi modeliramo robove izbrane struge. V tabeli na levi strani diagrama, za vsak odsek med dvema točkama dodajamo Manningove koeficiente hrapavosti  $n_g$  in naklone struge na sliki označene s  $\varphi$ . V našem primeru so vrednosti koeficientov za vse odseke rečne struge enake.



Slika 3.4: Vnos podatkov v program



Slika 3.5: Graf konsumpcijske krivulje izračunani po numerični metodi

Z grafa konsumpcijske krivulje 3.5 pri višini  $h = 5\text{ m}$  lahko preberemo da je pretok  $Q = 365,5\text{ m}^3/\text{s}$ . Rezultat po numeričnem postopku izračunan s programom je enak rezultatu ki smo ga izračunali ročno v poglavju 3.2.1

### 3.3 Rezultati izračuna

V poglavjih 3.1 in 3.2 smo preverili da sta rezultata ročnega izračuna in izračuna s programom po enaki metodi enaka. Če primerjamo rezultate trapezne metode z rezultati numerične metode pa se rezultati razlikujejo. Razlog za to je v izbiri matematičnega modela, kar prikazujejo enačbe spodaj.

Primerjali bomo rezultata pretokov vodotoka po trapezni in numerični metodi. Pri tem uporabimo podatke iz naloge opisane v poglavju 3. Celotna površina prečnega prereza pod gladino vode  $S(h)$  in omočeni obod struge  $P(h)$  sta sestavljena iz treh odsekov kot je prikazano na sliki 3.1.  $Q_i$  predstavlja izračun pretoka po trapezni metodi,  $Q_{ii}$  pa izračun pretoka po numerični metodi:

$$S(h) = S_I(h) + S_{II}(h) + S_{III}(h) \quad (3.14)$$

$$P(h) = P_I(h) + P_{II}(h) + P_{III}(h) \quad (3.15)$$

$$Q_i = \frac{\sqrt{I}}{ng} \cdot \frac{S^{5/3}}{P^{2/3}} \quad (3.16)$$

$$Q_{ii} = \frac{\sqrt{I}}{ng} \cdot \frac{S_I^{5/3}}{P_I^{2/3}} + \frac{\sqrt{I}}{ng} \cdot \frac{S_{II}^{5/3}}{P_{II}^{2/3}} + \frac{\sqrt{I}}{ng} \cdot \frac{S_{III}^{5/3}}{P_{III}^{2/3}} \quad (3.17)$$

Če v obeh enačbah odstranimo skupne člene enačbe, enačbe poenostavimo v:

$$Q_i = \frac{S^{5/3}}{P^{2/3}} \quad (3.18)$$

$$Q_{ii} = \frac{S_I^{5/3}}{P_I^{2/3}} + \frac{S_{II}^{5/3}}{P_{II}^{2/3}} + \frac{S_{III}^{5/3}}{P_{III}^{2/3}} \quad (3.19)$$

Enačimo obe enačbi in uporabimo podatke iz:

$$Q_i = Q_{ii} \quad (3.20)$$

$$\frac{S^{5/3}}{P^{2/3}} = \frac{S_I^{5/3}}{P_I^{2/3}} + \frac{S_{II}^{5/3}}{P_{II}^{2/3}} + \frac{S_{III}^{5/3}}{P_{III}^{2/3}} \quad (3.21)$$

$$\frac{50^{5/3}}{19,14^{2/3}} = \frac{12,5^{5/3}}{7,07^{2/3}} + \frac{25^{5/3}}{5^{2/3}} + \frac{12,5^{5/3}}{7,07^{2/3}} \quad (3.22)$$

$$94,84 \neq 109,7 \quad (3.23)$$

Do razlike v rezultatih pride zaradi matematičnih pravil seštevanja potenc:

$$a^y + b^y \neq (a + b)^y \quad (3.24)$$

## **4 ZAKLJUČEK**

Predstavljena formulacija končnih elementov ...

## **POVZETEK**

V disertaciji obravnavamo problem...

## **SUMMARY**

In the present dissertation we study ...

## **VIRI**

- [1] Kryžanowski, A., Mikoš, M., Brilly, M. 2011. Dragocen obnovljivi vir energije nam teče skozi prste?: Hidroelektrarne na srednji Savi. Delo 155: 3.
- [2] Chow, V. T. 1956. Open-Channel Hydraulics. McGraw-Hill Book Company.



## **SEZNAM DODATKOV**